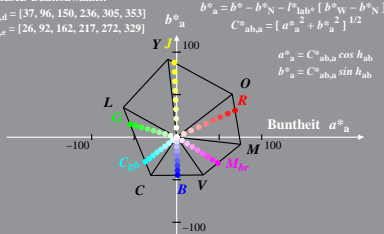


Beziehung CIELAB ( $L^*$ ,  $a^*$ ,  $b^*$ ) und adaptiertes (a) CIELAB ( $C^*_{ab,a}$ ,  $L^*$ )  
System: ORS18a

CIELAB-Bunttonwinkel:

$h_{ab,d} = [37, 96, 150, 236, 305, 353]$

$h_{ab,e} = [26, 92, 162, 217, 272, 329]$



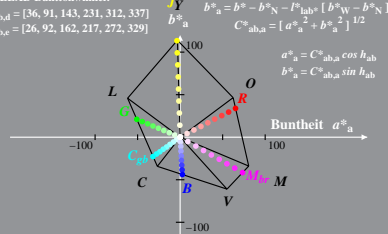
SG290-3N

Beziehung CIELAB ( $L^*$ ,  $a^*$ ,  $b^*$ ) und adaptiertes (a) CIELAB ( $C^*_{ab,a}$ ,  $L^*$ )  
System: PRS06a

CIELAB-Bunttonwinkel:

$h_{ab,d} = [36, 91, 143, 231, 312, 337]$

$h_{ab,e} = [26, 92, 162, 217, 272, 329]$



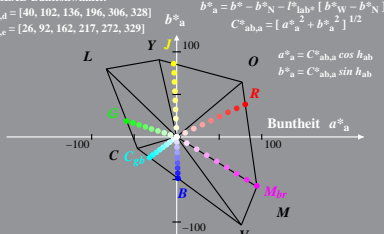
SG291-3N

Beziehung CIELAB ( $L^*$ ,  $a^*$ ,  $b^*$ ) und adaptiertes (a) CIELAB ( $C^*_{ab,a}$ ,  $L^*$ )  
System: TLS00

CIELAB-Bunttonwinkel:

$h_{ab,d} = [40, 102, 136, 196, 306, 328]$

$h_{ab,e} = [26, 92, 162, 217, 272, 329]$



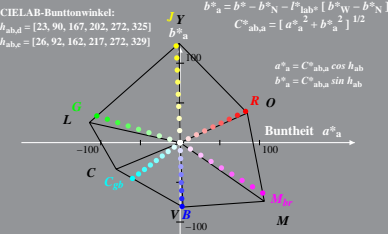
SG290-7N

Beziehung CIELAB ( $L^*$ ,  $a^*$ ,  $b^*$ ) und adaptiertes (a) CIELAB ( $C^*_{ab,a}$ ,  $L^*$ )  
System: NRS11a

CIELAB-Bunttonwinkel:

$h_{ab,d} = [23, 90, 167, 202, 272, 325]$

$h_{ab,e} = [26, 92, 162, 217, 272, 329]$



SG291-7N